



Σχολή Πολιτικών Μηχανικών  
Τομέας Γεωτεχνικής  
**ΕΔΑΦΟΜΗΧΑΝΙΚΗ I**

**ΔΙΑΤΜΗΤΙΚΗ ΦΟΡΤΙΣΗ**  
**Συσκευή απευθείας διάτμησης**

B.N. Γεωργιάννου, A. Ζερβός  
Καθηγήτρια, Επ. Καθ. Ε.Μ.Π.

# Εθνικό Μετσόβιο Πολυτεχνείο

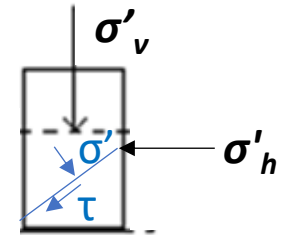


Τι έχουμε δει ως τώρα:

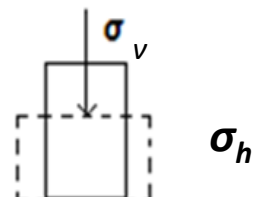
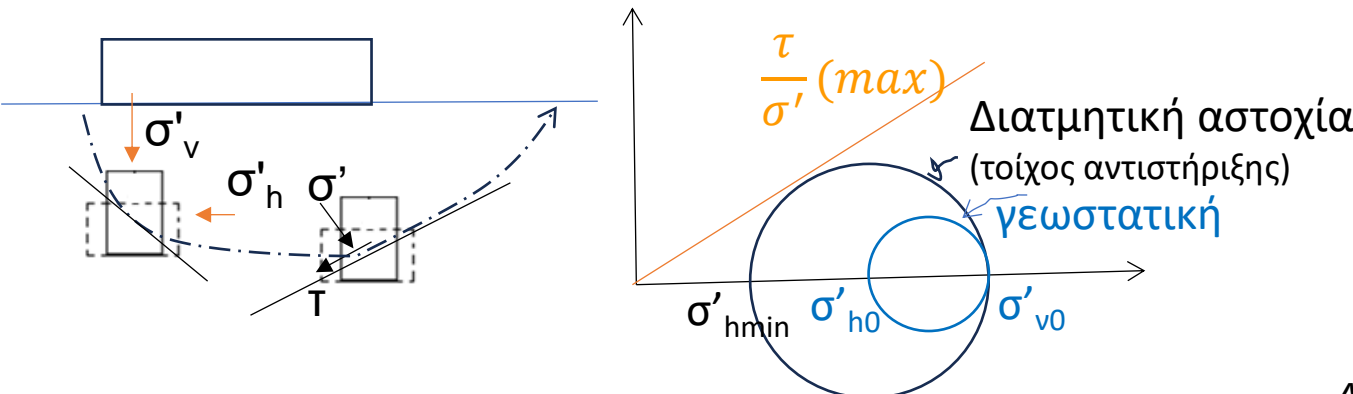
- Γεωστατικές τάσεις (ενεργός κατακόρυφη και οριζόντια)
- Ορθή ενεργός και διατμητική σε τυχαίο επίπεδο (κύκλος Mohr)
- Ενεργές τάσεις – παραμορφώσεις (καθιζήσεις) λόγω εκτεταμένης φόρτισης (μονοδιάστατη στερεοποίηση)

Οι ανωτέρω φορτίσεις δεν οδηγούν στην

Αστοχία: (κύκλοι Mohr) κάτω από την  $(\tau/\sigma')_{max}$



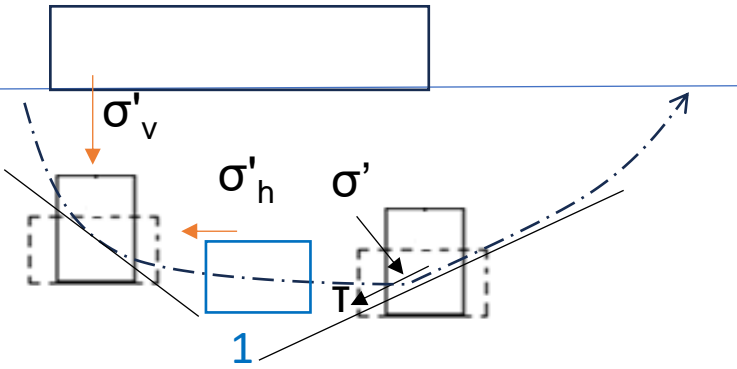
- Σημειακή ή περιορισμένης έκτασης φόρτιση
- Ωθήσεις γαιών πίσω από τοίχο αντιστήριξης → Διατμητική αστοχία





## ΔΙΑΤΜΗΤΙΚΗ ΑΣΤΟΧΙΑ

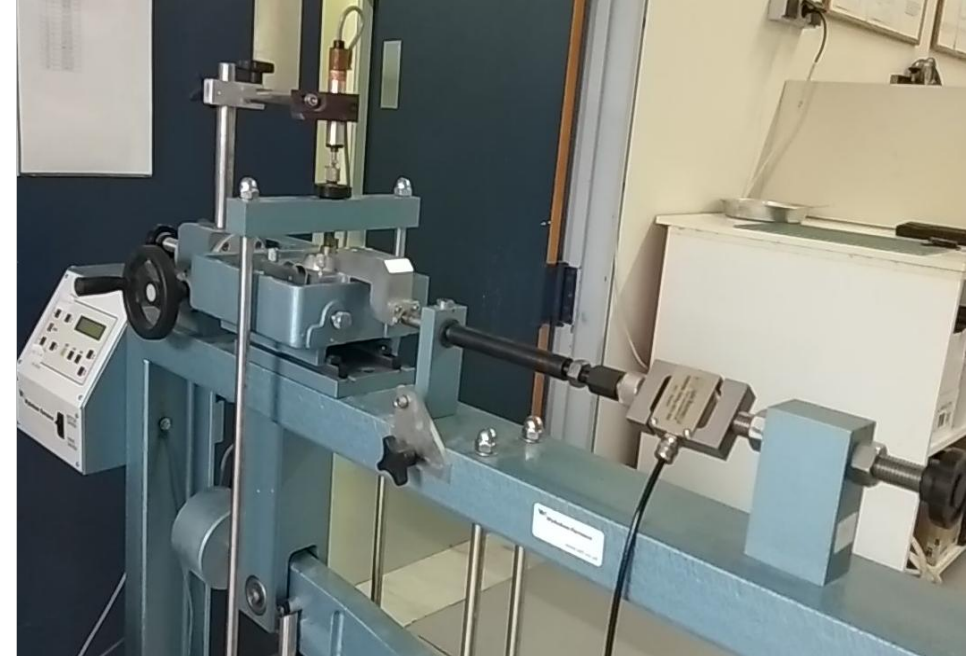
## ΔΙΑΤΜΗΤΙΚΗ ΦΟΡΤΙΣΗ



Στη θέση 1: το επίπεδο αστοχίας ~ οριζόντιο  
 $\sigma' = \sigma'_v$ , τ οριζόντια

- Για να προσομοιωθεί αυτή η φόρτιση δηλ.  
υπό σταθερή  $\sigma'_v$  να προσδιοριστεί η μέγιστη  
διατμητική  $T$  που θα οδηγήσει το εδαφικό  
στοιχείο στην αστοχία αναπτύχθηκε η  
συσκευή απευθείας διάτμησης

- Ειδική κατηγορία διατμητικής φόρτισης:
- Συσκευή απευθείας διάτμησης



# ΔΟΚΙΜΗ ΑΠΕΥΘΕΙΑΣ ΔΙΑΤΜΗΣΗΣ

Shear box

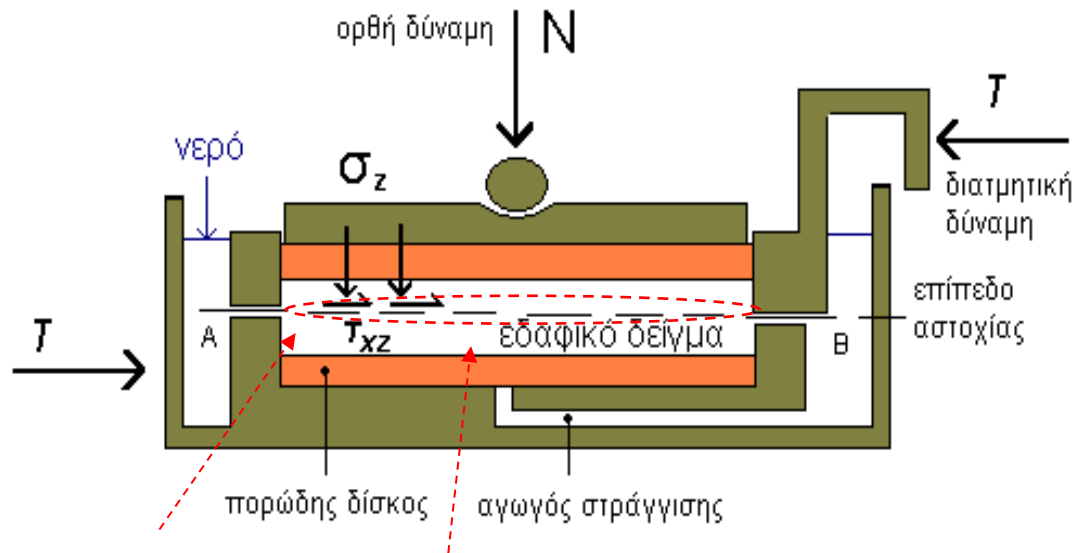


# Shear box

Specimen preparation







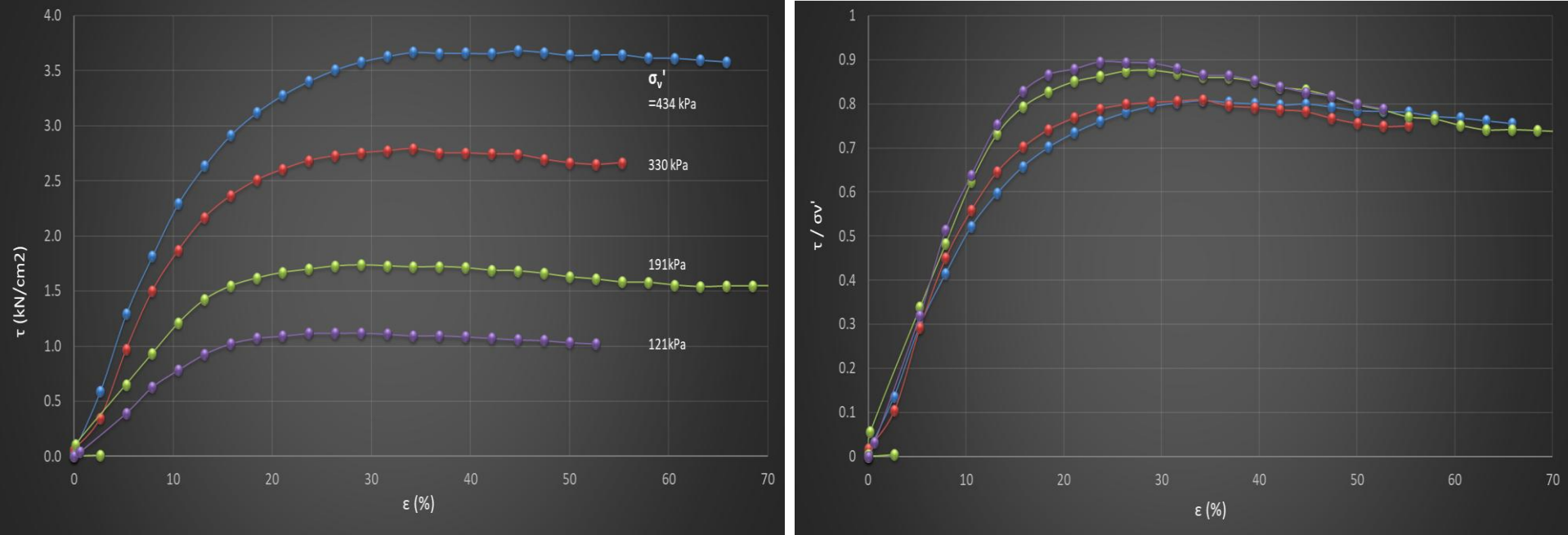
# Διατμητικές παραμορφώσεις?

ανομοιογενείς

# Συνθήκες στράγγισης?

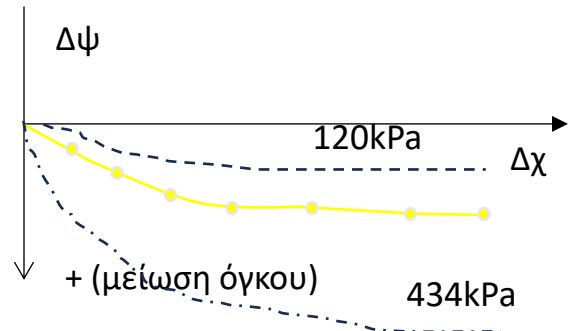
ελεύθερη στράγγιση = μεταβολή όγκου

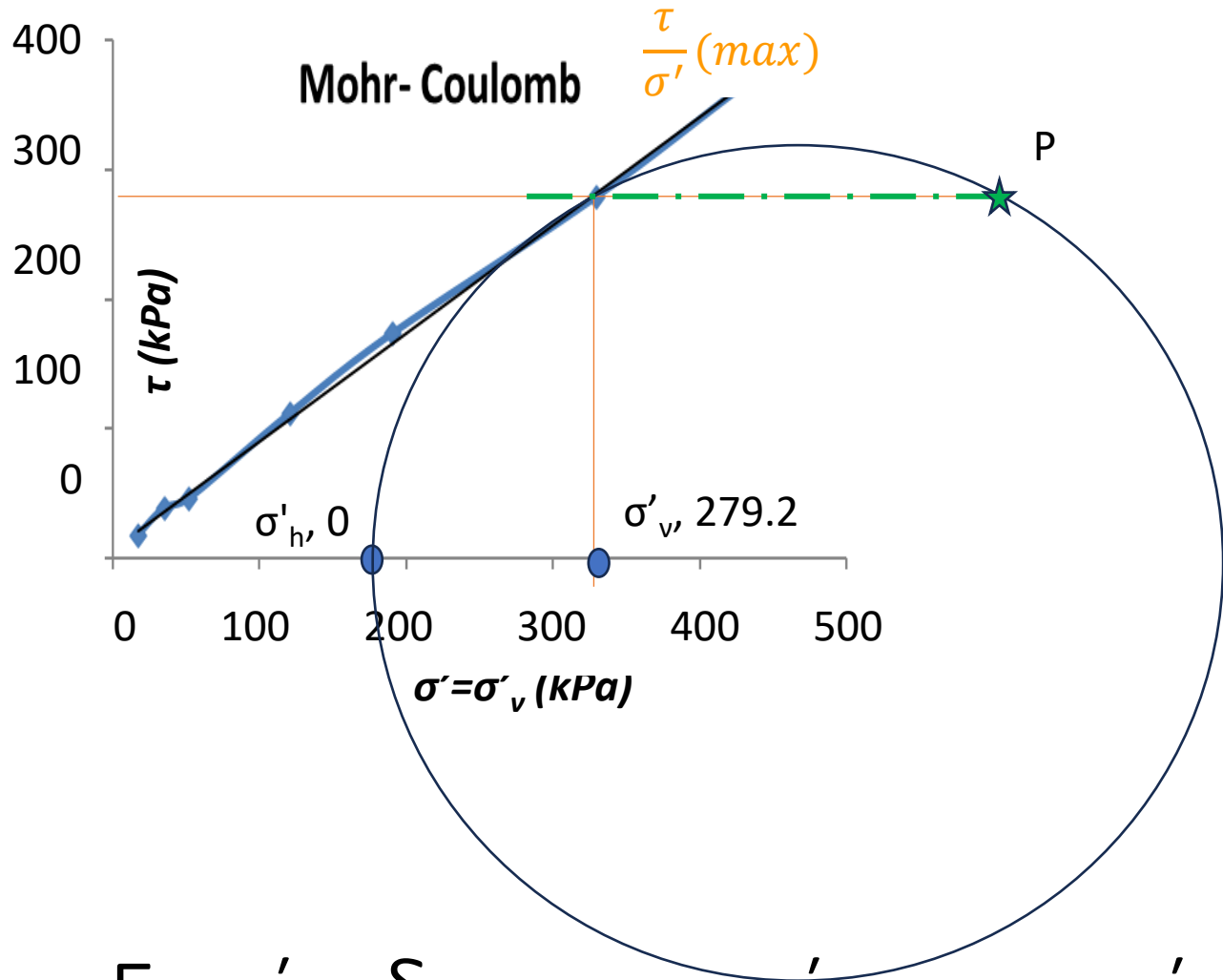
## ΑΠΟΤΕΛΕΣΜΑΤΑ ΔΟΚΙΜΩΝ ΑΠΕΥΘΕΙΑΣ ΔΙΑΤΜΗΣΗΣ ΣΕ ΧΑΛΑΡΗ ΑΜΜΟ



Σχέσεις τάσεων – παραμορφώσεων

1. μεγαλύτερη κατακόρυφη ενεργός τάση  $\sigma'_v$ , μεγαλύτερη διατμητική αντοχή
2. μεγαλύτερη κατακόρυφη ενεργός τάση  $\sigma'_v$ , μεγαλύτερη μείωση όγκου (κατακόρυφη μετακίνηση  $\Delta\psi$ )

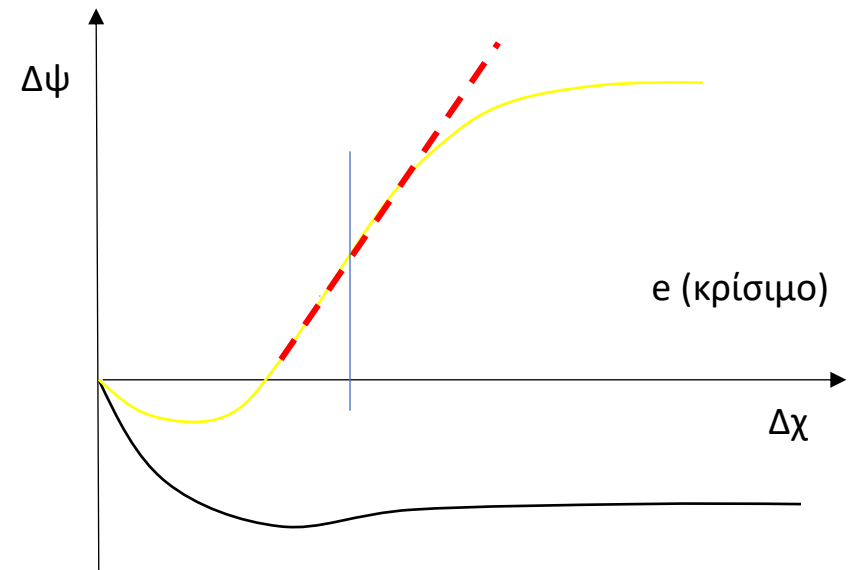
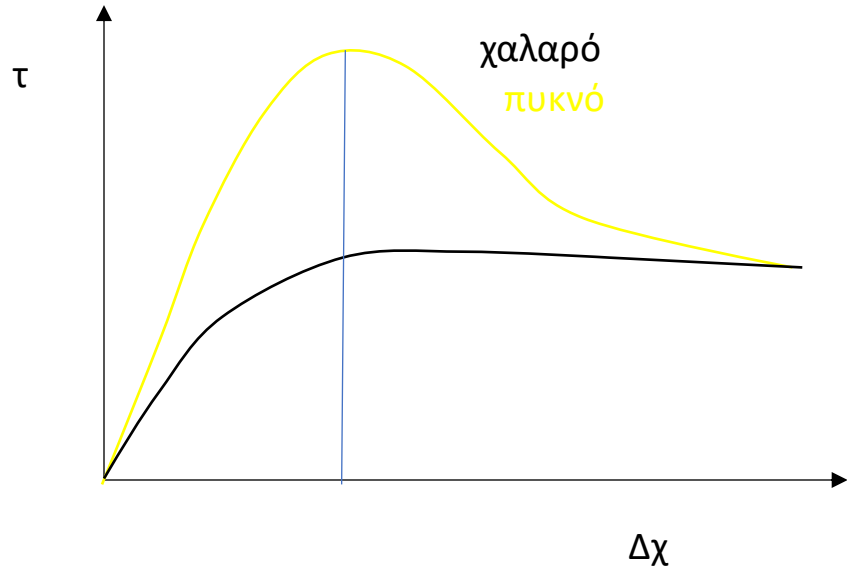




Γωνία διατμητικής αντοχής?  
 $\tan(\tau_{\max}/\sigma')$

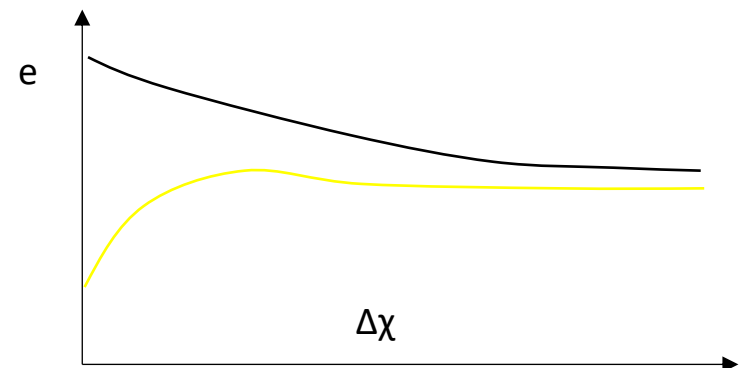
ορθή τάση $\sigma'$ (kN/m <sup>2</sup> )	Διατμητική τάση $\tau_{\max}$ (kN/m <sup>2</sup> )
434	368.3
330	279.2
191	173.7
121	112.0
52	46.1
35	38.9
17	17.5



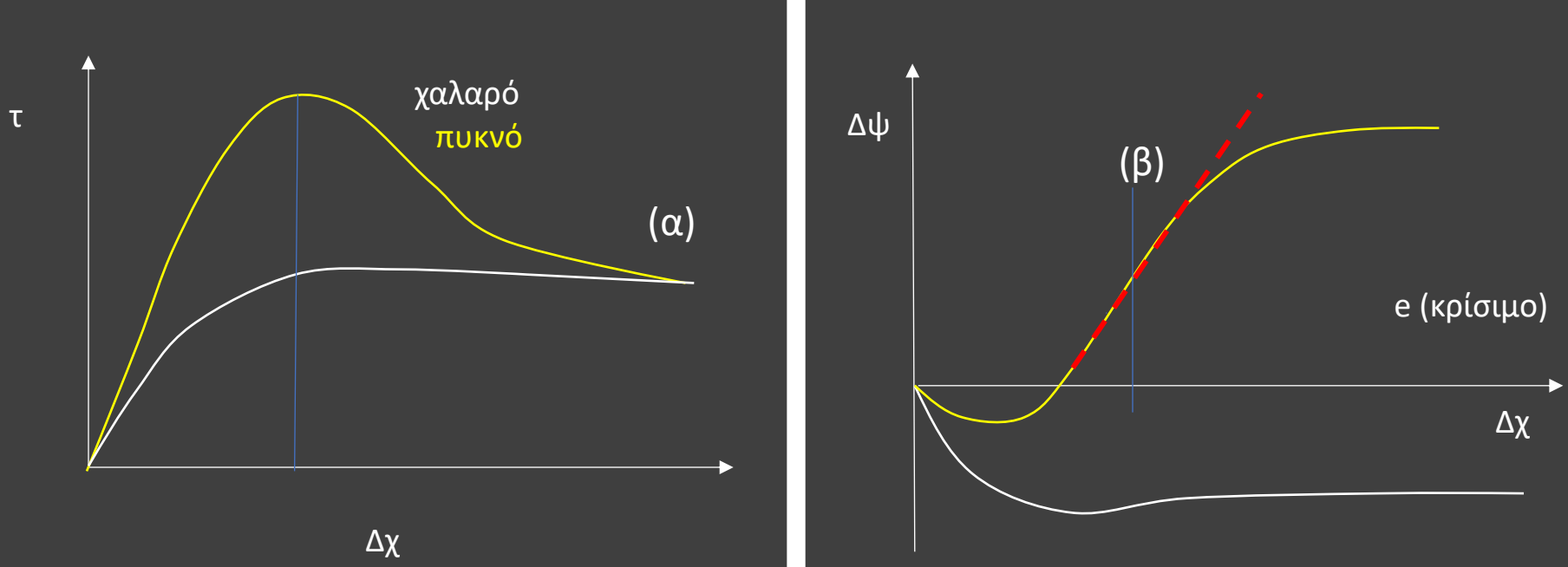


# Διαστολικότητα

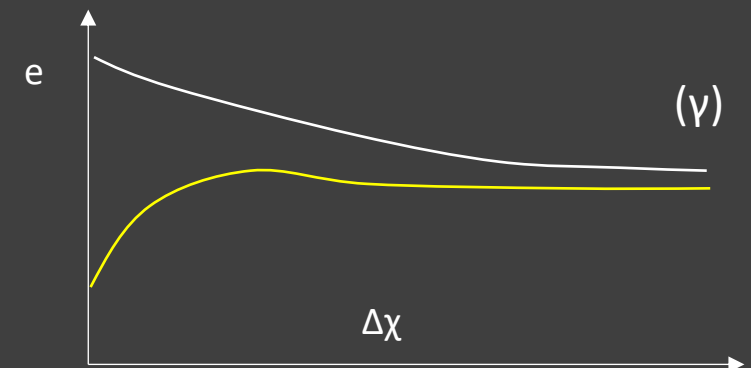
Αλληλεμπλοκή μεταξύ των κόκκων



# Σύγκριση πυκνής & χαλαρής άμμου

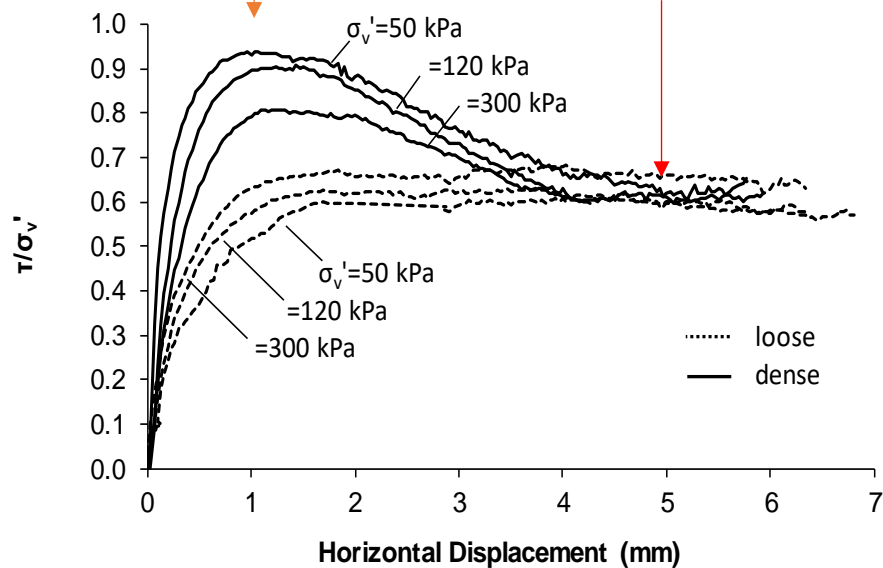


- Διαστολικότητα = αλληλεμπλοκή κόκκων ( $\beta$ )
- **ΚΡΙΣΙΜΗ ΚΑΤΑΣΤΑΣΗ**
  1. Τελική διατμητική αντοχή ανεξάρτητη της πυκνότητας για ίδια κατακόρυφη τάση  $\sigma_v$  ( $\alpha$ )
  2. Τελικός δείκτης πόρων επίσης ανεξάρτητος της πυκνότητας για ίδια κατακόρυφη τάση  $\sigma_v$  ( $\gamma$ )

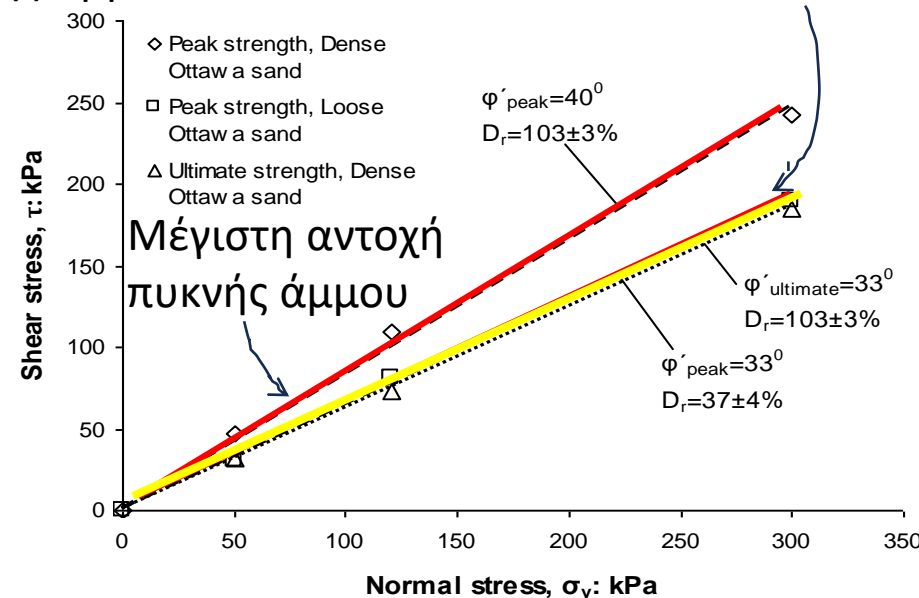


Μέγιστη διατμητική αντοχή πυκνής άμμου

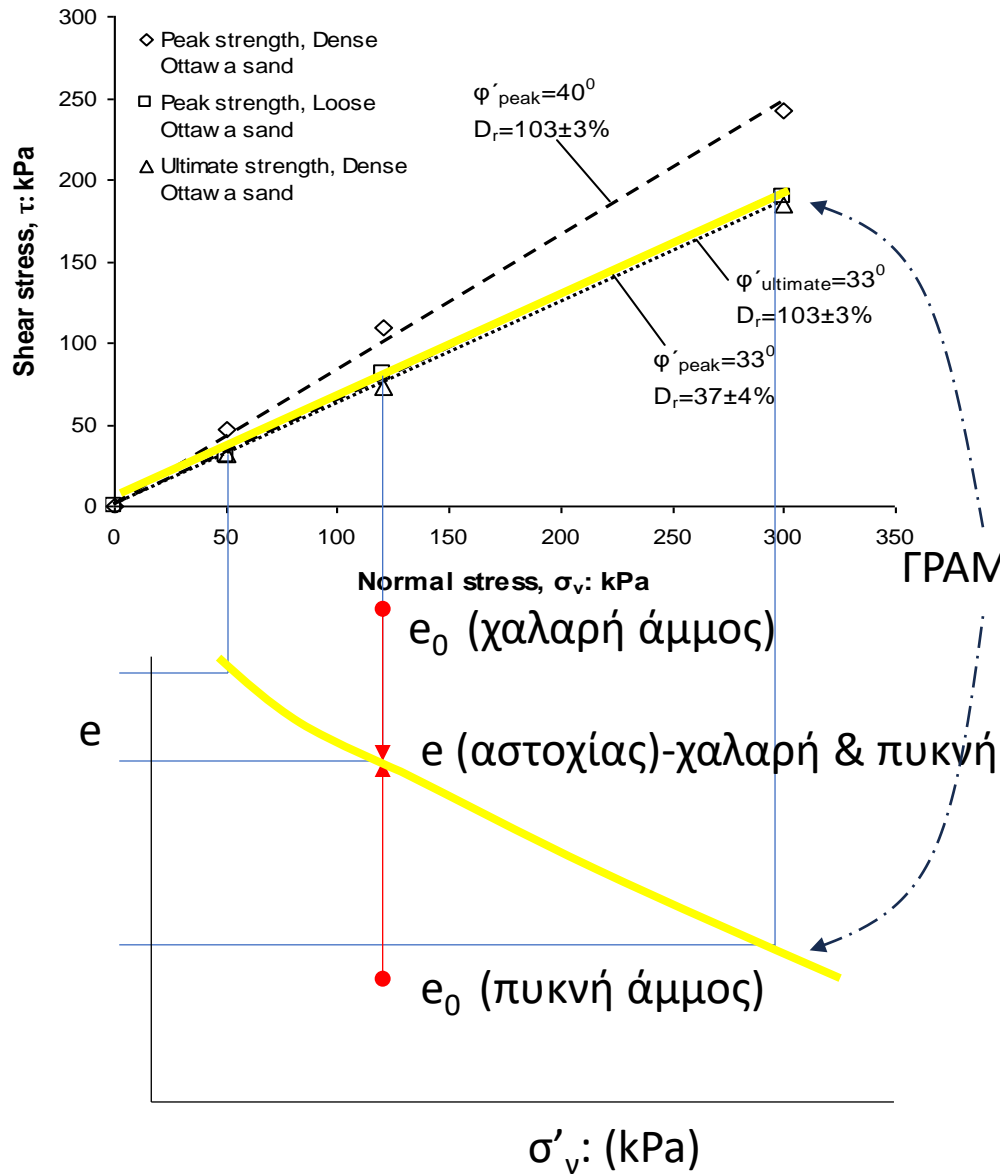
Διατμητική αντοχή χαλαρής άμμου



Γραμμή κρίσιμης κατάστασης



Περιβάλλουσες αστοχίας (Mohr-Coulomb)  
για πυκνά και χαλαρά δοκύμια άμμου



## ΕΦΑΡΜΟΓΗ

Σε εδαφική στρώση άμμου με ειδικό βάρος  $20\text{kN/m}^3$  σε βάθος 5m η άμμος είναι χαλαρή με δείκτη πόρων  $e_0=0.75$ , ενώ στα 15m πυκνή με  $e_0=0.57$ . α) Να υπολογιστεί ο δείκτης πόρων κατά την αστοχία στις δύο αυτές θέσεις αν η στρώση υποβληθεί σε αργή διατμητική φόρτιση μέχρι την αστοχία. Τα χαρακτηριστικά της CSL δίδονται στο σχήμα και η στάθμη του υδροφόρου ορίζοντα βρίσκεται 1m κάτω από την επιφάνεια του εδάφους.

β) αν η διατμητική φόρτιση οφείλεται σε σεισμό και προκαλείται αύξηση της πίεσης των πόρων Δυ υπό σταθερό όγκο σε ποιο βάθος μπορεί να δούμε αστοχία?

α) διάτμηση υπό σταθερή  $\sigma'_v$

$$\sigma'_{v0}^{5m} = 5 \cdot 20 - 4 \cdot 10 = 60\text{kPa}$$

$$\sigma'_{v0}^{15m} = 15 \cdot 20 - 14 \cdot 10 = 160\text{kPa}$$

$$e_{CSL}^{5m} = 0.95 - 0.15\log 60 = 0.68$$

$$e_{CSL}^{15m} = 0.95 - 0.15\log 160 = 0.62$$

β) η πάνω στρώση λόγω μείωσης της ενεργού τάσης  $\sigma'_v$  υπό σταθερό όγκο ( $e=ct$ )

ΓΡΑΜΜΗ ΚΡΙΣΙΜΗΣ ΚΑΤΑΣΤΑΣΗΣ (CSL)

